

## Biomolekuláris rendszerek vizsgálata

**Osváth Szabolcs**

Semmelweis Egyetem

osvath.szabolcs@med.semmelweis-univ.hu

## Abszorpció és fluoreszcencia spektroszkópia előnyei

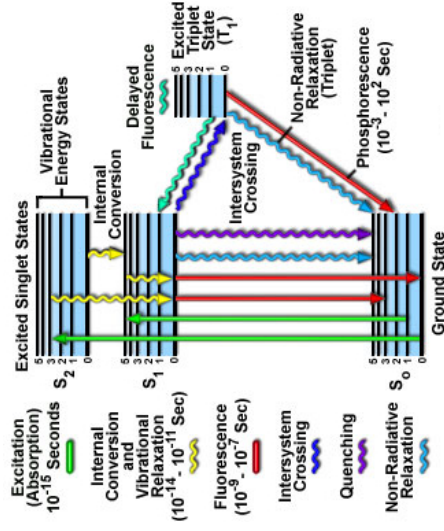
érzékeny

kvalitatív analízis

kvantitatív analízis

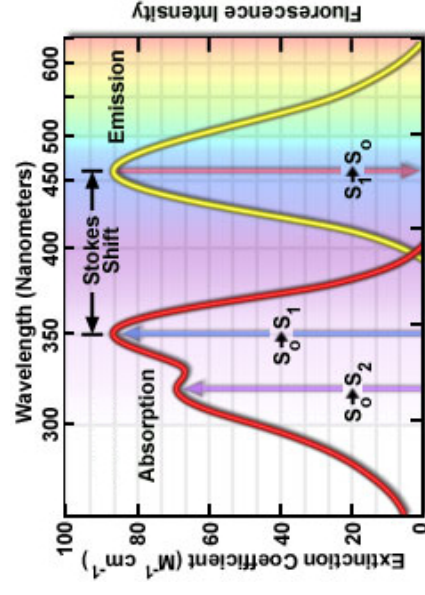
képzalkodó módszerekkel kombinálható

## Fény abszorpció és emisszió – Jablonski diagram

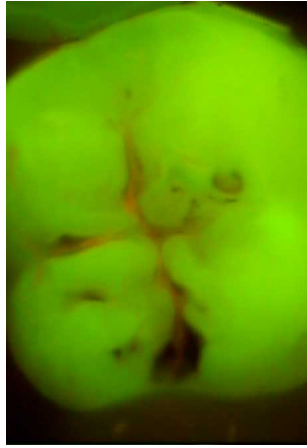


## Fény abszorpció és emisszió spektrum

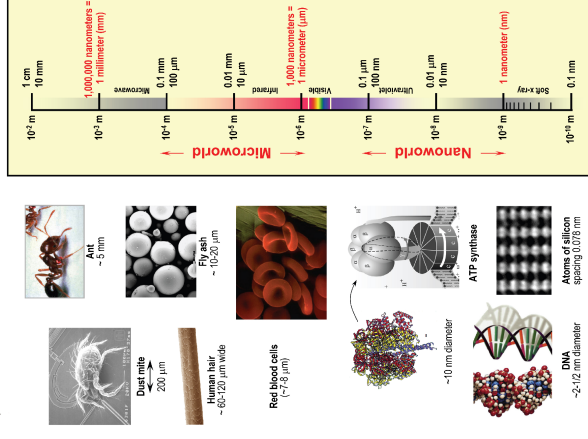
Stokes eltolódás (hullámhossz vagy frekvencia egységeiben) az abszorpció és emisszió spektrum maximuma közötti távolság.



## Quantitative Light-induced Fluorescence (QLF)



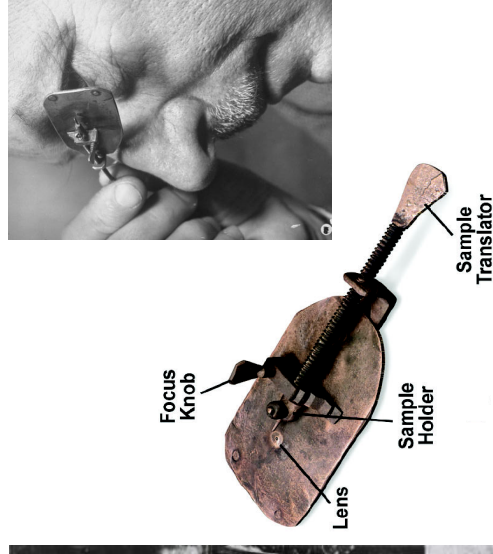
## Mekkorák a dolgok?



## Hans Jansen és Zacharias Jansen 1590-ben összetett mikroszkópot épít



## Antoni van Leeuwenhoek (Thonis Philipszoon) 1632-1723 1674-ben egyszerű mikroszkópot készít



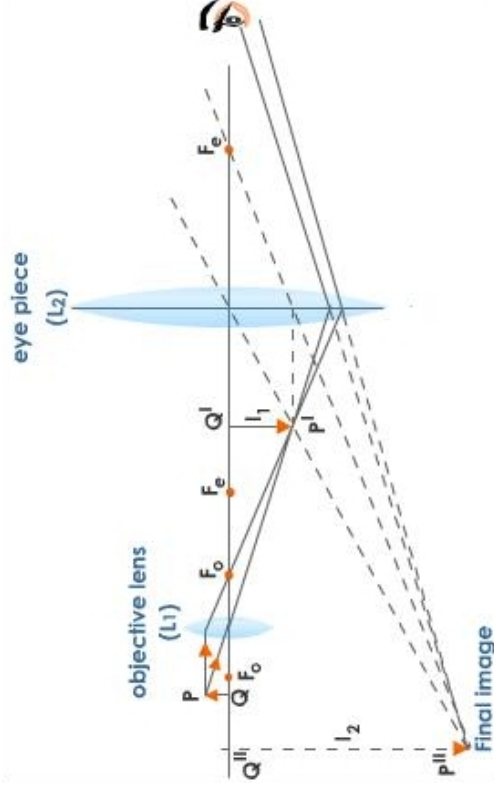
## Ernst Karl Abbe (1840-1905)



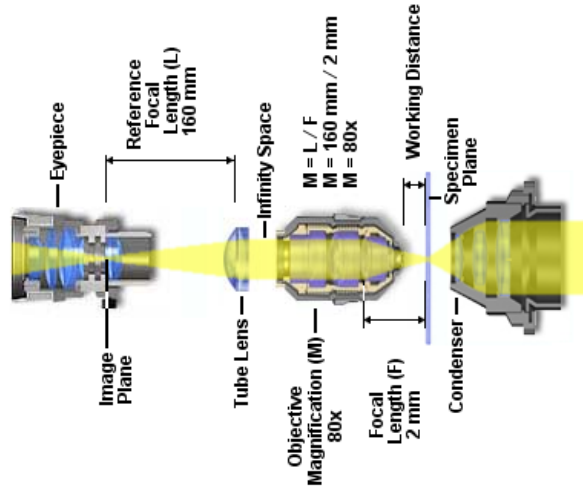
Fizikus és társadalomreformmer

Az optikai eszközök gyártását tudományos alapokra helyezte.

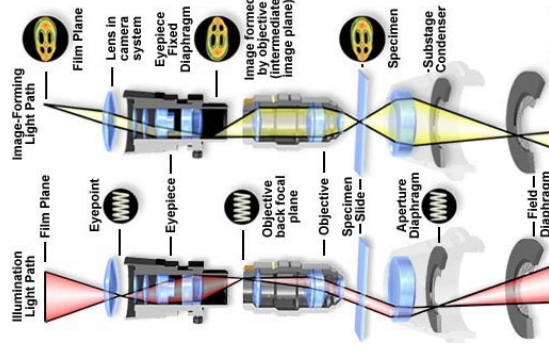
## Összetett mikroszkóp optikai útja



## “Végtelenre korrigált” optika



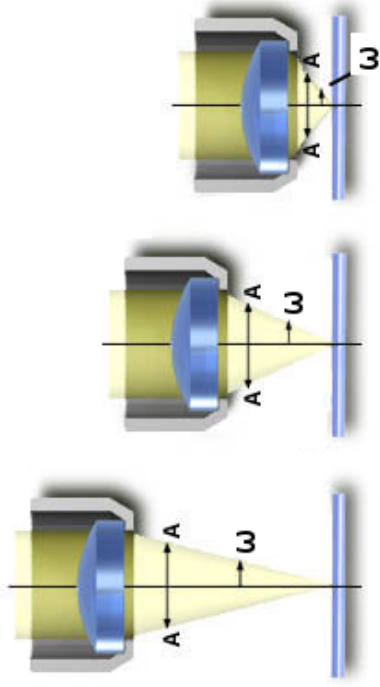
## Köhler megvilágítás



August Köhler  
(1866-1948)

1893-ban találta fel August Köhler a Carl Zeiss műveknél.

## Numerikus apertúra

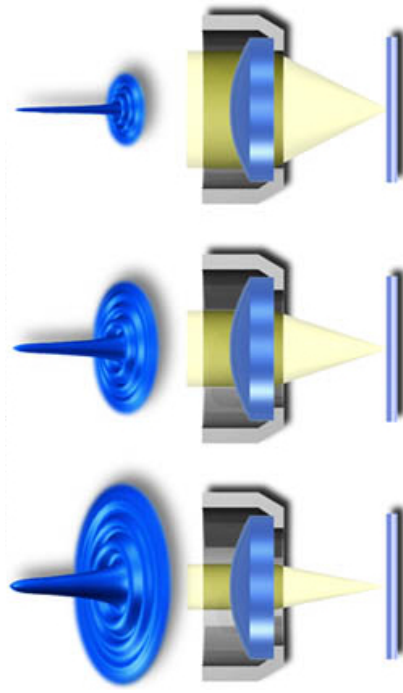


## Point Spread Function (PSF)

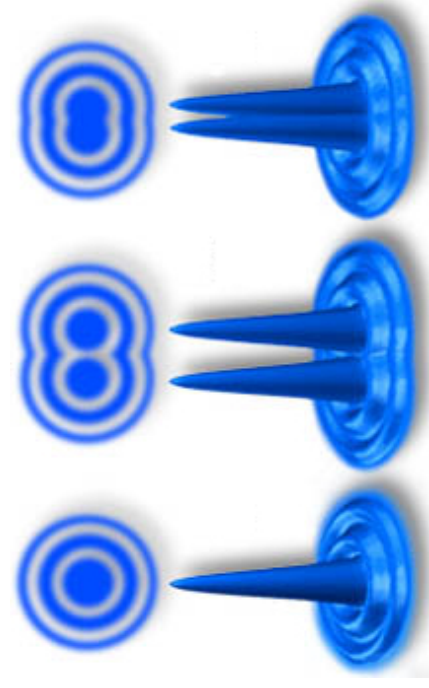
A (fluoreszcens) tárgy egy pontjának képe, nem egy pont, hanem adott intenzitáseloszlású folt. Ez a tulajdonság a fény hullámtermészetének a következménye.

Az objektív segítségével egy térrészbe lehet a fényt fókuszálni, nem egy pontba.

## A numerikus apertúra hatása a PSF-re



## A fény hullámtermészetének hatása a képre



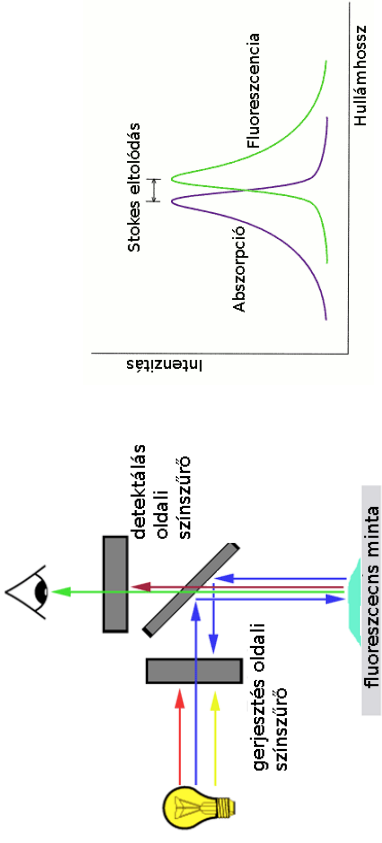
## Abbe összefüggés

$$\delta = 0,61 \cdot \lambda / (n \cdot \sin\alpha)$$

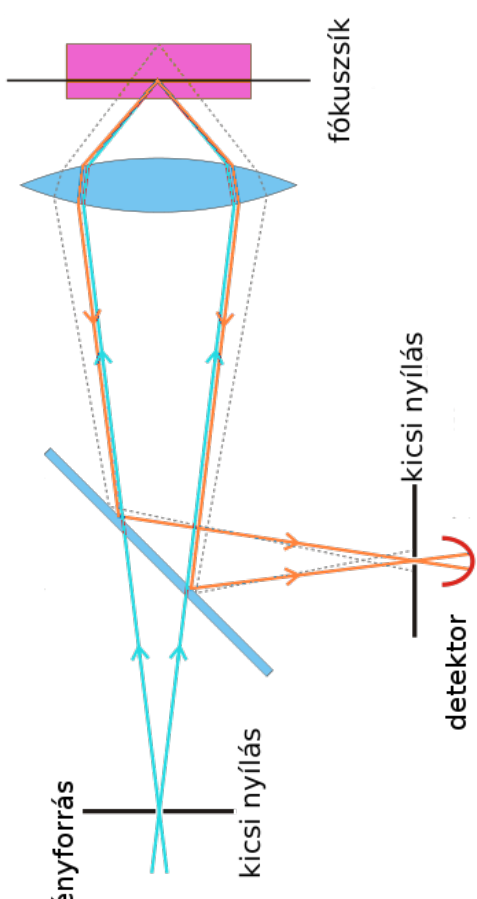
Hallgatólagos feltévések:

- a minta különböző részeiről egyszerre alkotunk képet;
- a minta részleteit úgy különböztetjük meg, hogy a róluk jövő fény a létrejövő képben megkülönböztethető képpontokat (foltokat) ad.

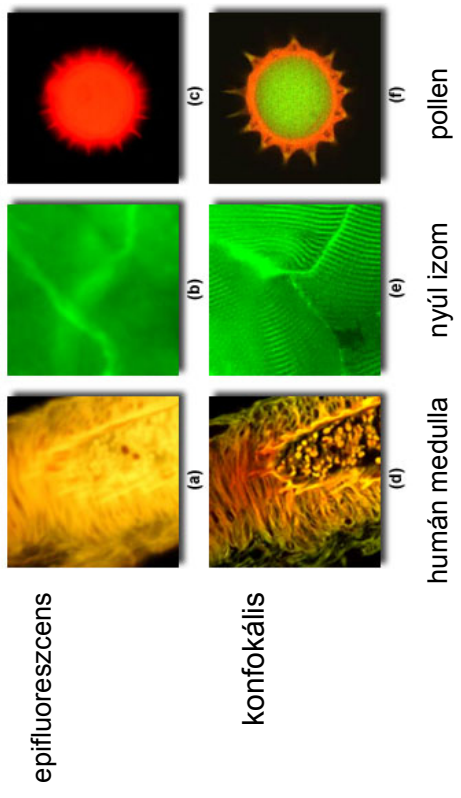
## Fluoreszcencia mikroszkóp



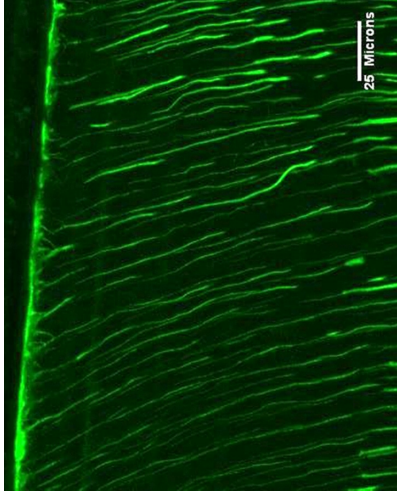
## A konfokális fluoreszcencia mikroszkóp működése



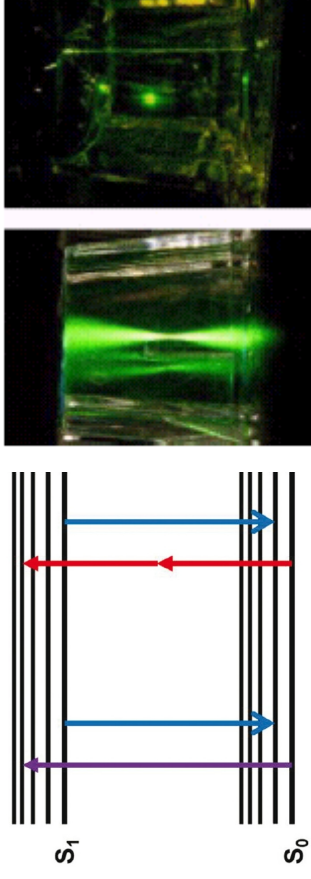
## Epifluoreszcens és konfokális mikroszkóp összehasonlítása



## Dentinalis tubulusok humán fogban



## A kétfotonos mikroszkóp működési elve



## Az ideális fluorofór

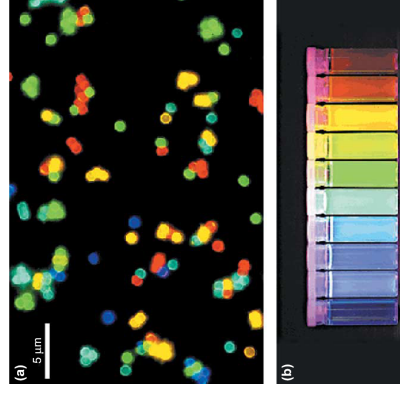
- kicsi
- hidrofíli
- a látható tartományban nyel el és emittál
- nagy Stokes eltolódás
- specifikus kötődés  
(biotin/avidin, His-tag/Ni, antitest/antigén, NH<sub>2</sub>, SH)
- fényes (abszorpció\*fluoreszcencia hatásfok)
- nem, vagy lassan ég ki
- nem csinál fotokémiai reakciókat
- nem pislog

## Fluoreszcens kvantumpöttyök

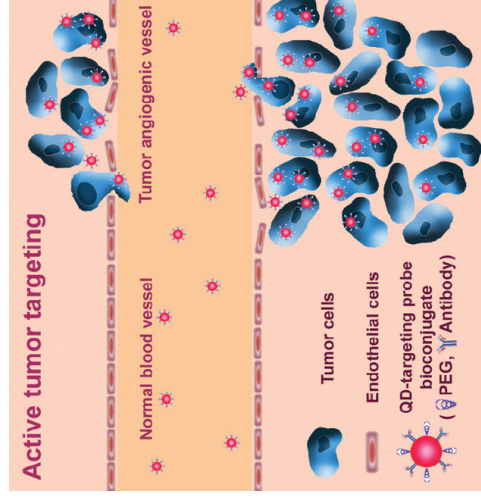
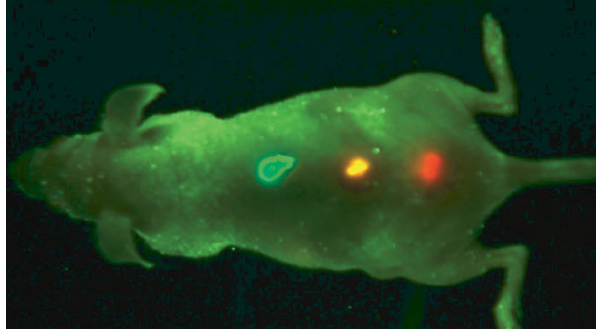
(a) CdSe-ből ZnS borítással készült kvantumpöttyök fluoreszcenciamikroszkópos képe

A kvantumpöttyök mérete határozza meg az emittált fluoreszcencia színét.

(b) tíz eltérő méretű, ezért elérő színben fluoreszkáló CdSe/ZnS kvantumpötty



## Fluoreszcens kvantumpöttyökkel jelölt rákos daganatok



## Fluoreszcens fehérjék



Aequorea victoria  
(medúza)



Acropora millepora  
(korall)

## GFP (Green Fluorescent Protein)

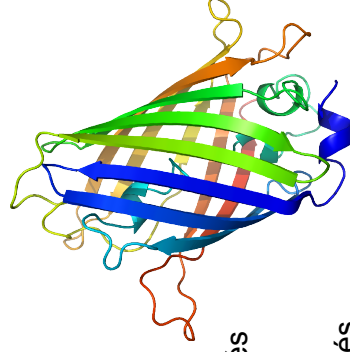
2008. évi kémiai Nobel díj

Osamu Shimomura – a '60 as években izolálta és elkezdte tanulmányozni

Douglas Prasher – 1992-ben klónozte és szekvenálta a génjét

Martin Chalfie – 1994-ben génkifejeződés indikátoraként használta

Roger Y. Tsien – 1995-ben előállított az első javított változatot



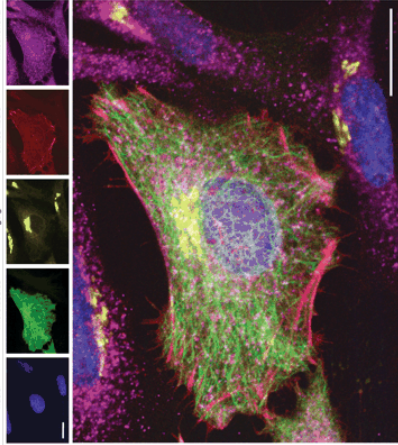
## A fluoreszcens fehérjék sokfélesége



A képet teljes egészében fluoreszcens fehérjéket kifejező baktériumokkal festették.

## Fluoreszcens jelölő módszerek párhuzamos alkalmazása

Excitation (nm)	488	493	633
Emission (nm) <td>500-530 <td>565-585 <td>640</td> </td></td>	500-530 <td>565-585 <td>640</td> </td>	565-585 <td>640</td>	640
Fluorophore <td>GFP <td>OD565 <td>OD565 </td></td></td>	GFP <td>OD565 <td>OD565 </td></td>	OD565 <td>OD565 </td>	OD565
Targeting <td>genetic <td>immuno <td>genetic </td></td></td>	genetic <td>immuno <td>genetic </td></td>	immuno <td>genetic </td>	genetic
Target <td>DNA <td>α-tubulin <td>β-actin </td></td></td>	DNA <td>α-tubulin <td>β-actin </td></td>	α-tubulin <td>β-actin </td>	β-actin
Structure <td>nuclei</td> <td>microtubules</td> <td>stress fibers</td>	nuclei	microtubules	stress fibers



Öt különböző módszerrel megfestett HeLa sejtek.

A vonal 20 μm hosszú.

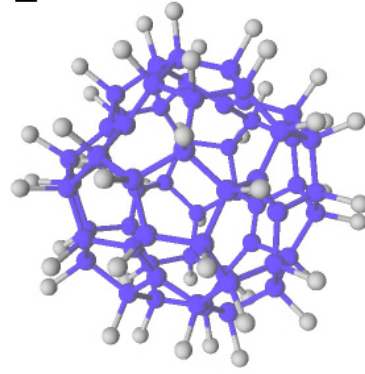
## Egyedi molekulák vizsgálata

### “Plenty of Room at the Bottom”

" The principles of physics, as far as I can see, do not speak against the possibility of maneuvering things atom by atom. It is not an attempt to violate any laws; it is something, in principle, that can be done; but in practice, it has not been done because we are too big."

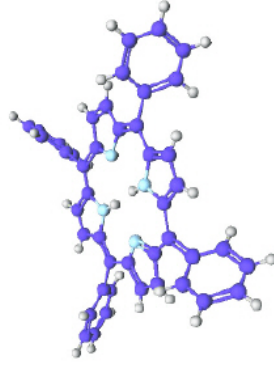
Richard Feynman, 1959

## Hullám-részecske kettősség



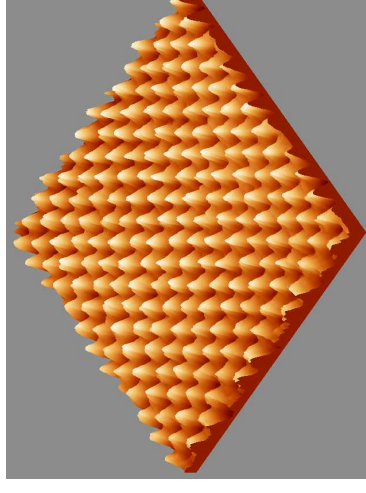
fluorofullerén C<sub>60</sub>F<sub>48</sub>  
1632 Da

Louis De Broglie:  $\lambda = h/p$



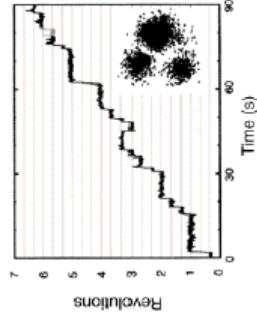
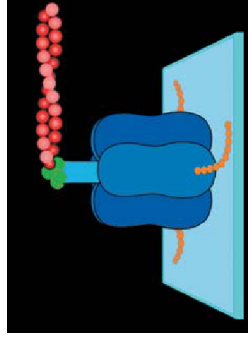
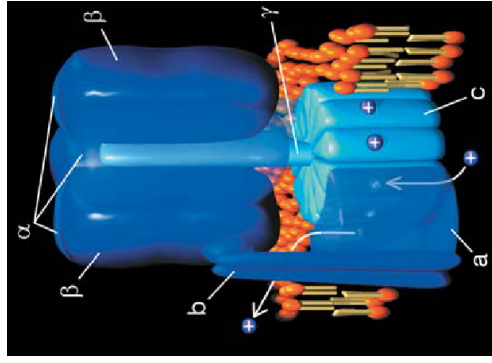
tetrafenilporfirin C<sub>44</sub>H<sub>30</sub>N<sub>4</sub>

## Hullám-részecske kettősség



Gratfírról készült Pásztaó Alagútmikroszkópi (Scanning Tunneling Microscope, STM) kép

## Egyedi F1 motor (ATP szintáz) forgó mozgása

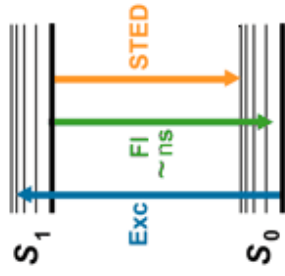


## Szuperrezolúciós mikroszkóp

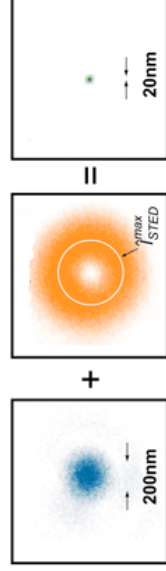
A szuperrezolúciós mikroszkópi technikák kidolgozásáért 2014-ben kémiai Nobel díjat kaptak:

- Eric Betzig
- Stefan W. Hell
- William E. Moerner

## STimulated Emission Depletion (STED) mikroszkóp



Stefan Hell úttörő munkája nyomán

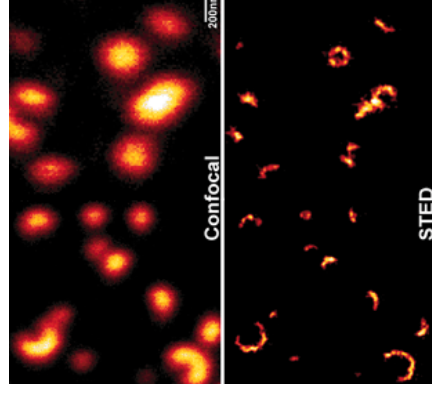


$$\Delta r \approx \frac{\Delta}{\sqrt{1 + I_{max}/I_s}}$$

$I_{max}$  a használt maximális STED intenzitás

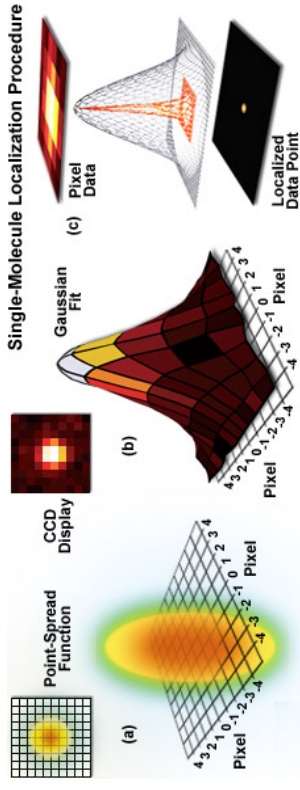
$I_s$  a STED feltöltési intenzitása

## STimulated Emission Depletion (STED) mikroszkóp



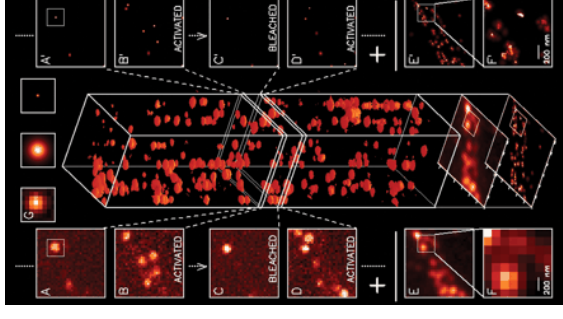
Szinaptolizin szerveződése az újra-hasznosított szinaptikus vezikulákban.

## Lokalizáció



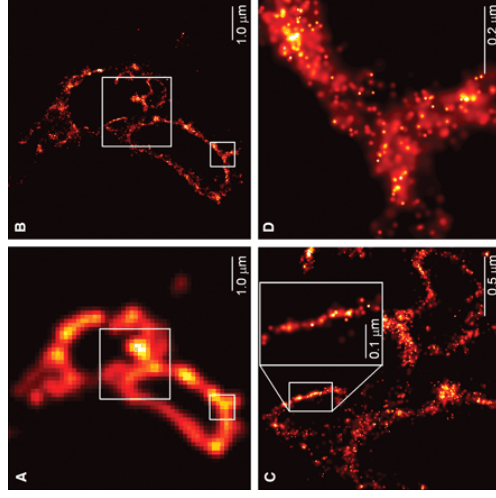
## Photo-Activated Localization Microscopy (PALM)

Eric Betzig és Harald Hess  
találománya nyomán



## Photo-Activated Localization Microscopy (PALM)

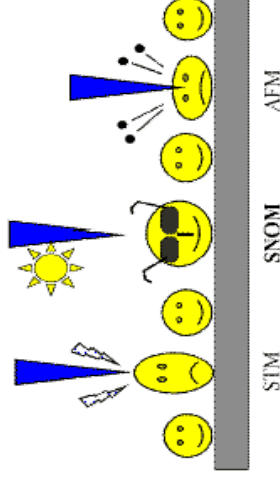
CD63, izoszóma transzmembrán fehérje



## Pásztázó tűszondás mikroszkópok

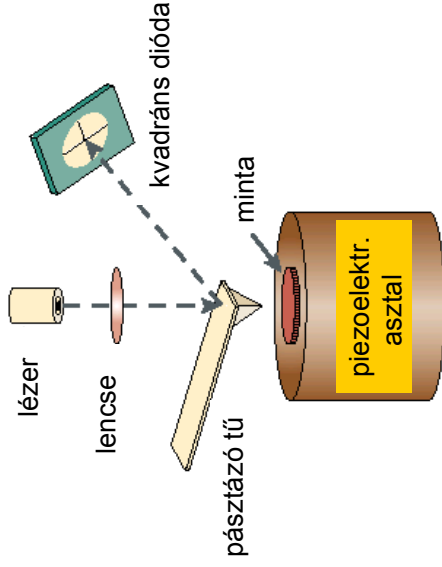
(Scanning Probe Microscopy - SPM)

A mikroszkópok olyan családja, amely a minta felszínének domborzati képét hozza létre. Egy hegyes tűvel pásztázzunk a felszínt és a hegy-minta kölcsönhatást mérjük.



## Atomerő mikroszkóp (Atomic Force Microscopy - AFM)

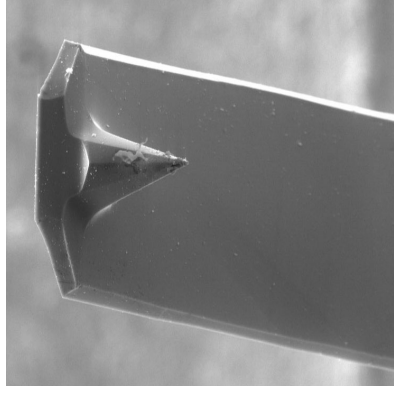
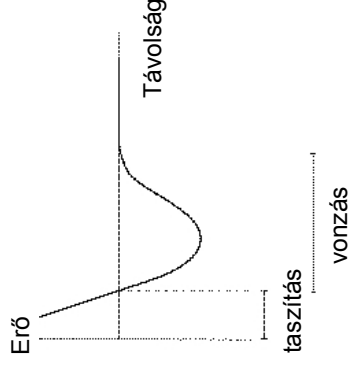
**AFM:** a mért kölcsönhatás a hegy és minta közötti erő



## A tű és a minta közötti erő

A tű jellemzői:

- tipikusan 100  $\mu\text{m}$  hosszú, 1  $\mu\text{m}$  vastag, V alakú
- kis rugóállandó
- nagy rezonanciafrekvencia
- szilícium (-oxid, -nitrid)



## Contact Mode AFM

A tű és a minta állandó kontaktusban vannak.

A tasztító tartományban dolgozik.

Állandónak tartja az erőt: követi a felszín hullámzását.

A mérőrugó függőleges deformációját detektáljuk.

Lokális erő spektroszkópia: a felület egy adott pontjában az erő/elmozdulás függvény.

## Előnyök és hátrányok

### Contact Mode AFM

Előny:

gyors pásztázás  
atomi felbontás  
érdes felületekre jó

Hátrány:

a vízszintes erők torzítják a képet  
torzítás a minta felületén lévő víz miatt  
a lágy biológiai mintákat megkarcolja

## Tapping Mode AFM

A tű 20-100 nm amplitúdójú rezgéseket végez, minden rezgésnél érinti a felületet.

A rezgési amplitúdó és fázis változik ahogy a felszínen a kiemelkedések és mélyedések vannak.

### Tapping Mode AFM

Előny:

nagyobb laterális felbontás (1 – 5nm)  
kevésbé teszi tönkre a lágy mintákat

Hátrány:

lassabb pásztázás